

Ледовые условия сезона 2019–2020 гг.

Суровость зимних условий в регионе можно проследить по поведению такой характеристики, как ледовитость моря (рис. 6-1–6-3). Графики ледовитости составлены на основе средней декадной ледовитости моря в % относительно общей площади моря для Охотского и Берингова морей и относительно площади предельного распространения льда для Японского моря [Якунин, 1987, Плотников, 2002]. При характеристике ледовых условий используется классификация: умеренная ($\pm\sigma$ от нормы), большая (больше нормы на σ и более) и малая (меньше нормы на σ и менее) ледовитость, определяется относительно нормы 1971–2000 гг., где σ – среднее квадратическое отклонение.

Японское море

В целом ледовый сезон имел ряд отличий от среднего многолетнего сценария. Образование льда началось в конце ноября. Наиболее активное образование ледяного покрова отмечалось с конца декабря до середины января. В январе площадь льда превышала климатические значения на 4–6 % (на $0,4-0,6\sigma$). Сезонный максимум был достигнут в первой декаде февраля (на декаду раньше нормы и незначительно её превышал). Во второй половине февраля началось медленное, а в марте интенсивное разрушение ледяного покрова. Ледовые условия перешли в разряд мягких – ледовитость моря была ниже средних многолетних показателей на 11–17 % (стандартизованные аномалии составили $-1,2...-1,7\sigma$). Во второй половине апреля льдом было покрыто всего около 2 % от площади предельного распространения льда (рис. 6-1). В мае ледовый сезон в Японском море закончился

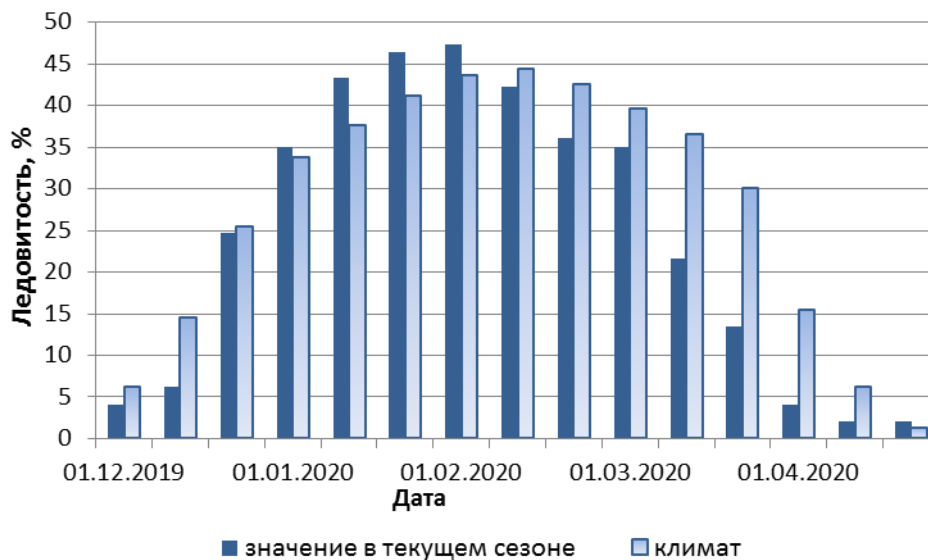


Рис. 6-1 Ледовитость Японского моря по декадам за сезон 2019–2020 гг. Климатические значения ледовитости получены за период 1971–2000 гг.

Охотское море

Большую часть сезона ледовые условия были близки к средним многолетним, с небольшим дефицитом площади льда (стандартизованные аномалии менее $1,0\sigma$). Образование ледяного покрова началось в конце ноября. Оно продолжалось относительно равномерно до первой декады марта, когда был достигнут сезонный максимум – льдом

**Обзор гидрометеорологических процессов и оценки текущего состояния
дальневосточных морей за 2020 год
Ледовые условия**

покрыто 72 % площади моря, что незначительно меньше нормы. В дальнейшем наблюдалось медленное, а в конце марта и апреле интенсивное разрушение ледяного покрова. Ледовые условия перешли в разряд мягких (площадь льда было меньше нормы более чем на 20 %, стандартизованные аномалии достигали $-1,6... -2,4\sigma$). К концу мая площадь льда уменьшилась до 6 % (рис. 6-2), что меньше нормы на 7 % (на $1,0\sigma$).

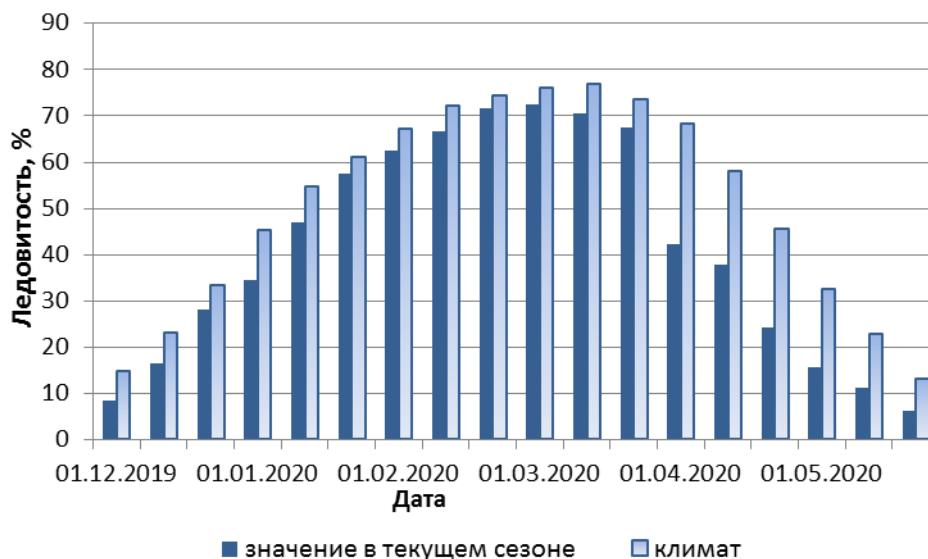


Рис. 6-2 Ледовитость Охотского моря по декадам за сезон 2019–2020 гг. Климатические значения ледовитости получены за период 1971–2000 гг.

Берингово море

В течение сезона ледовые условия развивались не равномерно, с резкими перепадами в развитии, переходили из разряда мягких к суровым и обратно к относительно мягким. Образование льда началось в конце ноября, развивалось сначала вяло, а в конце декабря – очень активно, площадь льда стала превышать средние многолетние показатели. Следующее резкое возрастание ледовитости отмечалось в конце января, ледовые условия перешли в разряд суровых (льда было больше нормы на 6 % или $1,2\sigma$). Максимум ледовитости был достигнут в первой декаде марта, на декаду раньше нормы, составлял 40 % относительно общей площади моря и превысил климатические показатели тоже на 6 %. В конце марта началось разрушение ледяного покрова, площадь льда сокращалась на 3–9 % от декады к декаде. К концу мая площадь льда составляла 8 % относительно общей площади моря (рис. 6-3), что незначительно меньше средних многолетних показателей (на 4 % меньше нормы, стандартизованная аномалия составила $-0,6\sigma$).

Обзор гидрометеорологических процессов и оценки текущего состояния
дальневосточных морей за 2020 год
Ледовые условия

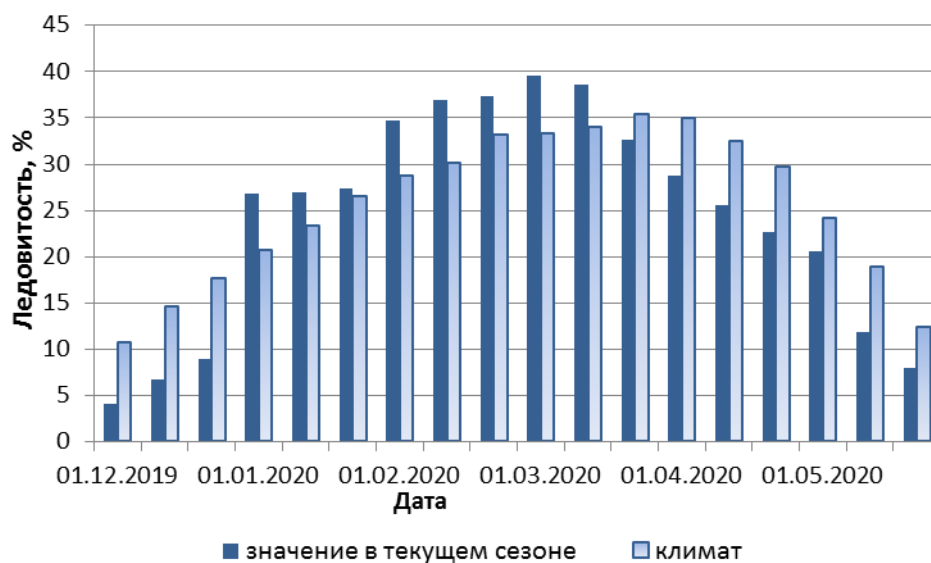


Рис. 6-3 Ледовитость Берингова моря по декадам за сезон 2019–2020 гг.
Климатические значения ледовитости получены за период 1971–2000 гг.